

УДК 539.3

DOI 10.51691/2541-8327\_2022\_12\_28

***ПРИМЕНЕНИЕ МЕТОДА АСИМПТОТИЧЕСКОГО ОСРЕДНЕНИЯ ДЛЯ  
ЛИНЕЙНОЙ ЗАДАЧИ ПЬЕЗОУПРУГОСТИ***

***Димитриенко Ю.И.***

*д.ф.-м.н., профессор, заведующий кафедрой*

*Московский государственный технический университет имени Н. Э.  
Баумана,*

*Москва, Россия*

***Зубарев К.М.***

*Старший преподаватель кафедры*

*Московский государственный технический университет имени Н. Э.  
Баумана,*

*Москва, Россия*

***Крылов А.В.***

*студент*

*Московский государственный технический университет имени Н. Э.  
Баумана,*

*Москва, Россия*

**Аннотация.** В этой работе рассматривается метод асимптотического осреднения, также известный как метод осреднения Бахвалова- Победри. Метод используется для нахождения эффективных характеристик слоистого композита. Все результаты вычислений и графики компонент, рассматриваемые в данной работе, реализованы на языке Python. В статье разбираются два разных двухслойных композита, причем первый состоит из слоев турмалина и кварца, а второй – из сегнетовой соли и титаната бария. Для

каждого были получены эффективные характеристики и графики зависимостей компонент от ширины слоев.

**Ключевые слова:** композиционные материалы, пьезоэластичность, метод асимптотического осреднения.

***APPLICATION OF THE ASYMPTOTIC AVERAGING METHOD FOR THE LINEAR PIEZOELASTICITY PROBLEM***

***Dimitrienko Yu. I.***

*doctor of physical and mathematical Sciences, Professor, head of the department*

*Bauman Moscow state technical University,*

*Moscow, Russia*

***Zubarev K. M.***

*Senior Lecturer*

*Bauman Moscow state technical University,*

*Moscow, Russia*

***Krylov A. V.***

*student*

*Bauman Moscow state technical University,*

*Moscow, Russia*

**Abstract.** In this paper, the asymptotic averaging method, also known as the Bakhvalov-Pobedri averaging method, is considered. The method is used to find the effective characteristics of a layered composite. All the results of calculations and graphs of components considered in this paper are implemented in Python. The article deals with two different two-layer composites, the first consisting of layers of tourmaline and  $\alpha$ -quartz, and the second of seignette salt and barium titanate. For

each, effective characteristics and graphs of component dependencies on the volume of layers were obtained.

**Key words:** composite materials, piezoelectroelasticity, asymptotic averaging method.

### **Введение**

В наши дни заметно вырос интерес к использованию различных методик моделирования передовых материалов с нестандартными и нелинейными свойствами и характеристиками, что особенно актуально в связи с развитием в области нанотехнологий [2,3,4,6].

В машиностроительной, судостроительной, авиационной, космической отрасли, строительству и прочих областях производства и промышленности предъявляются особые требования к материалам, которые используются в создании устройств и приборов. Эти требования относятся, в основном, к их свойствам и характеристикам.

Современная вычислительная техника также не стоит на месте и активно развивается, позволяя получать более точные и быстрые решения к различным проблемам, что также повышает интерес к изучению и использованию инновационных методов моделирования [2,3].

Одним из таких методов является метод асимптотического осреднения (МАО), или метод гомогенизации, поскольку он способен предоставить значительные возможности для создания новых методик решения. В данной работе предлагается применение этого способа при изучении композиционных материалов с линейными свойствами пьезоупругости [1].

Решение данной задачи основано на таких явлениях как прямой пьезоэффект, так и обратный. При воздействии на некоторые кристаллы механического напряжения возникает дипольный момент[9]. Данное явление и есть суть прямого пьезоэффекта. В [9] аналогично определяют такие величины, как модули пьезоэлектричества, а также показывается, что данные Дневник науки | [www.dnevnikaui.ru](http://www.dnevnikaui.ru) | СМЭЛ № ФС 77-68405 ISSN 2541-8327

характеристики есть компоненты тензора третьего ранга. Большинство теоретических предположений данной работы основываются на определениях и выводах, описанных и полученных в [9].

### Линейная задача пьезоупругости

Мы рассматриваем пьезоэлектрический композит с рекуррентной структурой, пьезомеханическое поведение которого описывается смешанной начально-краевой задачей [1,10]:

$$\begin{aligned} \sigma_{ij,j} &= 0; & D_{i,i} &= 0; \\ \sigma_{ij} &= C_{ijkl}u_{k,l} + v_{kij}\varphi_{,k}; & D_i &= v_{ikl}u_{k,l} - \varepsilon_{ik}\varphi_{,h}; \\ u_i|_{\Sigma_1} &= u_i^0; & \varphi|_{\Sigma_3} &= \varphi^0; & \sigma_{ij}n_j|_{\Sigma_2} &= S_i^0; & D_in_i|_{\Sigma_4} &= \sigma^0. \end{aligned} \quad (1)$$

Так как структура композита периодична, у нее можно выделить ячейку периодичности  $V_\xi$  и согласно методу асимптотического осреднения, ввести малый параметр  $\kappa = \frac{l}{L} \ll 1$ , где  $l$  – характерный размер ячейки периодичности (ЯП)  $V_\xi$  [5].

Введём безразмерные координаты:  $\tilde{x}^s = x^s / L$  – глобальные координаты и  $\xi^i = \tilde{x}^i / \kappa$  – локальные координаты, причем  $V_\xi = \{\xi^i \mid -0.5 < \xi^i < 0.5\}$ .

Согласно МАО решение линейной задачи пьезоупругости построим в виде следующих асимптотических разложений:

$$\begin{aligned}
 u_i(\bar{x}, \xi) &= u_i^{(0)}(\bar{x}) + k u_i^{(1)}(\bar{x}, \xi) + k^2 u_i^{(2)}(\bar{x}, \xi) + \dots = \\
 &= u_i^{(0)}(\bar{x}) + \sum_{n=1}^{\infty} k^n u_i^{(n)}(\bar{x}, \xi), \quad (2)
 \end{aligned}$$

$$\begin{aligned}
 \varphi(\bar{x}, \xi) &= \varphi^{(0)}(\bar{x}) + k \varphi^{(1)}(\bar{x}, \xi) + k^2 \varphi^{(2)}(\bar{x}, \xi) + \dots = \\
 &= \varphi^{(0)}(\bar{x}) + \sum_{n=1}^{\infty} k^n \varphi^{(n)}(\bar{x}, \xi).
 \end{aligned}$$

Следуя методу усреднения, мы находим [7], что средние значения перемещений  $\langle u_i \rangle = v_i$ , электрического потенциала  $\langle \varphi \rangle = \psi$  являются решением следующей усредненной начально-краевой задачи:

$$\begin{aligned}
 \langle \sigma_{ij} \rangle_{,j} &= 0; \quad \langle D_i \rangle_{,i} = 0; \\
 \langle \sigma_{ij} \rangle &= \hat{C}_{ijmn} v_{m,n} + \hat{v}_{mij} \psi_{,m}; \quad \langle D_i \rangle = \hat{v}_{imn} v_{m,n} - \hat{\varepsilon}_{im} \psi_{,m}; \quad (3) \\
 v_i|_{\Sigma_1} &= u_i^0; \quad \psi|_{\Sigma_3} = \varphi^0; \quad \langle \sigma_{ij} \rangle n_j|_{\Sigma_2} = S_i^0; \quad \langle D_i \rangle n_i|_{\Sigma_4} = \sigma^0.
 \end{aligned}$$

Мы определяем эффективные характеристики рассматриваемой задачи по формулам:

$$\bar{C}_{ijmn} = \langle C_{ijkl} M_{kmnl} + v_{kij} N_{mnlk} + C_{ijmn} \rangle \quad (4)$$

$$\bar{v}_{mij} = \langle C_{ijhl} M_{kmnl} + v_{kij} N_{mnlk} + v_{mij} \rangle \quad (5)$$

$$\bar{\varepsilon}_{im} = \langle -v_{ikl} M_{kmnl} + \varepsilon_{ik} N_{mnlk} + \varepsilon_{im} \rangle \quad (6)$$

Далее мы имеем дело с многослойным пьезоэлектрическим композитом с рекуррентной структурой, т.е. мы предполагаем, что  $C_{ijkl}$ ,  $v_{kij}$ ,  $\varepsilon_{ik}$  являются периодическими функциями одной координаты, например,  $x_3$ . Тогда задача о рекуррентной ячейке принимает вид:

$$\begin{aligned}
 (C_{i3k3} M_{kmnl3} + v_{3i3} N_{mnl3} + C_{i3mn})_3 &= 0, \\
 (-v_{3k3} M_{kmnl3} + \varepsilon_{33} N_{mnl3} - v_{3mn})_3 &= 0. \quad (7)
 \end{aligned}$$

Интегрируя эту систему обыкновенных дифференциальных уравнений один раз и разрешая полученные равенства относительно  $M_{kmn|3}$  и  $N_{mn|3}$ , мы находим

$$\begin{aligned} M_{kmn|3} &= A_{kl} a_{lmn} - B_k b_{mn} - D_{kmn}, \\ N_{mn|3} &= B_l a_{lmn} + C b_{mn} - E_{mn}. \end{aligned} \quad (8)$$

где

$$\begin{aligned} (A_{kl})_{3 \times 3} &= (C_{3kl3} + \vartheta_{33}^{-1} v_{3k3} v_{3l3})_{3 \times 3}^{-1}, \\ B_k &= \vartheta_{33}^{-1} A_{kl} v_{3l3}, \\ C &= \vartheta_{33}^{-1} (1 - B_l v_{3l3}), \\ D_{kmn} &= A_{kl} (C_{3lmn} + \vartheta_{33}^{-1} v_{3l3} v_{3mn}), \\ E_{mn} &= \vartheta_{33}^{-1} (v_{3l3} D_{lmn} - v_{3mn}), \\ (F_{kl})_{3 \times 3} &= (\langle A_{kl} \rangle + \langle C \rangle^{-1} \langle B_l \rangle \langle B_k \rangle)_{3 \times 3}^{-1}, \\ a_{lmn} &= F_{lk} (\langle D_{kmn} \rangle + \langle C \rangle^{-1} \langle B_k \rangle \langle E_{mn} \rangle), \\ b_{mn} &= \langle C \rangle^{-1} (\langle E_{mn} \rangle - \langle B_l \rangle a_{lmn}). \end{aligned}$$

Тогда получим выражение для эффективного тензора упругости:

$$\begin{aligned} \bar{C}_{ijmn} &= \langle C_{ijk3} A_{kl} + v_{3ij} B_l \rangle a_{lmn} + \langle -C_{ijk3} B_k + v_{3ij} C \rangle b_{mn} \\ &+ \langle C_{ijmn} - C_{ijk3} D_{kmn} - v_{3ij} E_{mn} \rangle. \end{aligned} \quad (9)$$

Аналогично получим выражения для  $M_{km|3}$  и  $N_{m|3}$ :

$$\begin{aligned} M_{km|3} &= A_{kl} a_{lm} - B_k b_m - D_{km}, \\ N_{m|3} &= B_l a_{lm} + C b_m - E_m, \end{aligned} \quad (10)$$

$$\begin{aligned} \text{где } D_{km} &= A_{kl}(v_{m3l} - \varepsilon_{33}^{-1}v_{3l3}\varepsilon_{3m}), \\ E_m &= \varepsilon_{33}^{-1}(v_{3l3}D_{lm} + \varepsilon_{3m}), \\ a_{lm} &= F_{lk}(\langle D_{km} \rangle + \langle C \rangle^{-1}\langle B_k \rangle \langle E_m \rangle), \\ b_m &= \langle C \rangle^{-1}(\langle E_m \rangle - \langle B_l \rangle a_{lm}). \end{aligned}$$

Аналогично находим остальные эффективные характеристики:

$$\begin{aligned} \bar{v}_{mij} &= \langle C_{ijk3}A_{kl} + v_{3ij}B_l \rangle a_{lm} + \langle -C_{ijk3}B_k + v_{3ij}C \rangle b_m + \\ &+ \langle v_{mij} - C_{ijk3}D_{km} - v_{3ij}E_m \rangle, \end{aligned} \quad (11)$$

$$\begin{aligned} \bar{\varepsilon}_{im} &= \langle -v_{ik3}A_{kl} + \varepsilon_{i3}B_l \rangle a_{lm} + \langle v_{ik3}B_k + \varepsilon_{i3}C \rangle b_m + \\ &+ \langle \varepsilon_{im} + v_{ik3}D_{km} - \varepsilon_{i3}E_m \rangle. \end{aligned} \quad (12)$$

### Расчётная часть

Рассмотрим двухслойный композит 1, состоящий из слоя турмалина, обладающего тригональным (В-ромбоэдрическим) классом симметрии с группой анизотропии 3m (табл. 1) и слоя  $\alpha$ -кварца (табл. 2), также обладающего тригональным классом симметрии, но с группой анизотропии 32:

Таблица 1 – Константы турмалина ( $c_{ijkl}$  в ГПа,  $v_{ijk}$  в Кл/м<sup>2</sup>,  $\varepsilon_{ij}$  в 10<sup>-10</sup> Ф/м)

Компонента	$C'_{1111}$	$C'_{1122}$	$C'_{3333}$	$C'_{2323}$	$v'_{131}$	$v'_{311}$	$v'_{333}$	$\varepsilon'_{11}$	$\varepsilon'_{33}$
Значение	2,700	0,69	1,61	0,67	0,247	0,103	0,320	0,598	0,489

Таблица 2 – Константы  $\alpha$ -кварца ( $c_{ijkl}$  в ГПа,  $v_{ijk}$  в Кл/м<sup>2</sup>,  $\varepsilon_{ij}$  в 10<sup>-10</sup> Ф/м)

Компонента	$C'_{1111}$	$C'_{1122}$	$C'_{1133}$	$C'_{1123}$	$C'_{3333}$	$C'_{2323}$	$v'_{111}$	$v'_{123}$	$\varepsilon'_{11}$	$\varepsilon'_{33}$
Значение	0,868	0,060	0,119	-0,178	1,07	0,578	0,171	0,040	0,400	0,410

В таблице 3 предоставлены результаты вычисления программы, разработанной на Python:

Таблица 3 – Эффективные характеристики композита 1

Компонента	$\bar{C}_{1111}$	$\bar{C}_{2222}$	$\bar{C}_{3333}$	$\bar{\nu}_{111}$	$\bar{\nu}_{222}$	$\bar{\nu}_{311}$	$\bar{\nu}_{11}$	$\bar{\nu}_{33}$
Значение	1.785	1.779	1.32	0.087	0,001	0,112	0,524	0,461
Компонента	$\bar{C}_{1133}$	$\bar{C}_{1123}$	$\bar{C}_{2323}$	$\bar{\nu}_{333}$	$\bar{\nu}_{112}$	$\bar{\nu}_{213}$	$\bar{\nu}_{21}$	$\bar{\nu}_{13}$
Значение	0.121	-0.132	0.621	0,047	-0.001	-0.021	0	0

Полученные результаты можем представить в виде графиков зависимости эффективных характеристик от концентрации соответствующих слоев (ширины слоев). Ниже на рисунке 1 изображена зависимость эффективных компонент тензора модуля упругости от концентрации слоя турмалина:

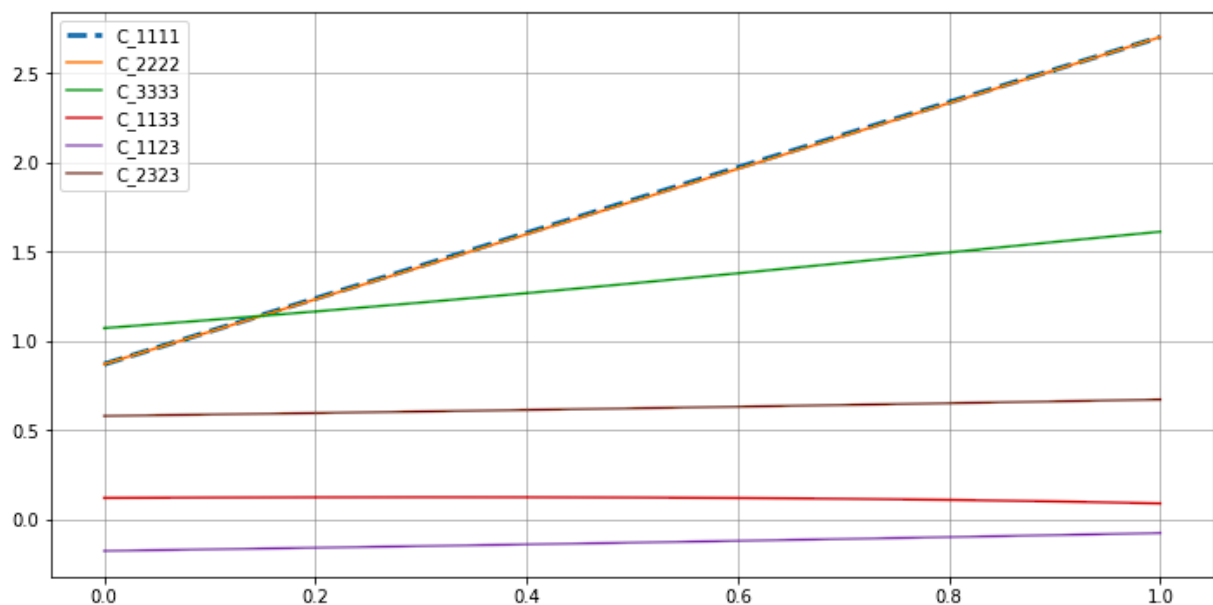


Рис. 1 – График зависимости компонент тензора  $c_{ijkl}$  от концентрации турмалина в композите. Авторская разработка.

Ниже на рисунке 2 изображена зависимость эффективных компонент тензора  $V_{ijk}$  от концентрации слоя турмалина:

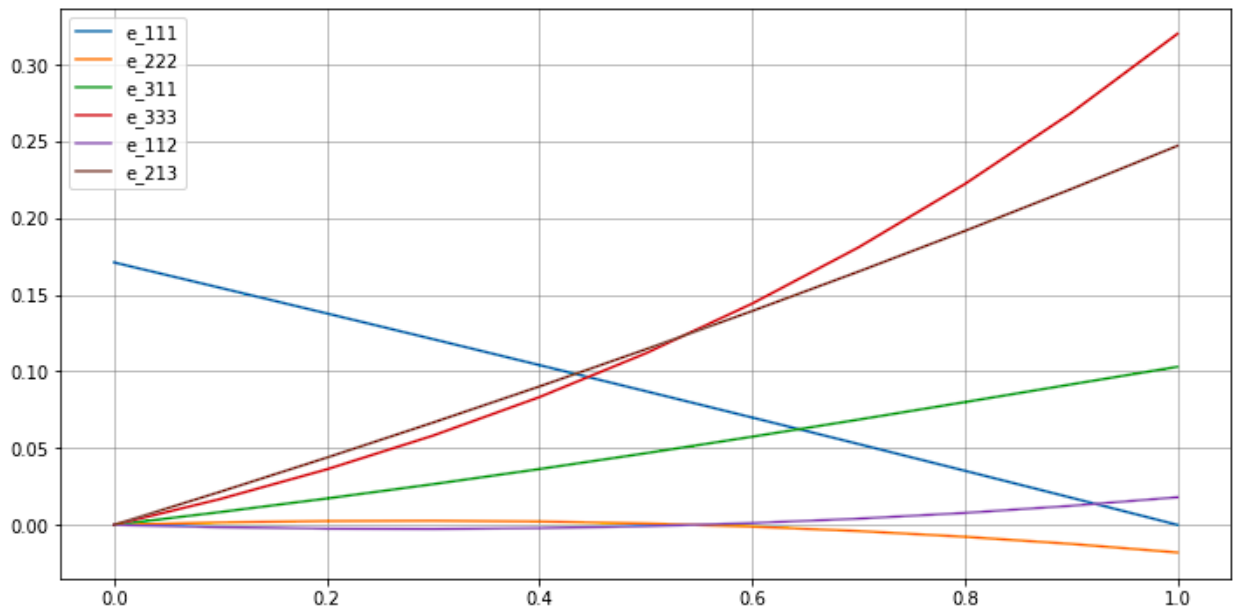


Рис. 2 – График зависимости компонент тензора  $V_{ijk}$  от концентрации турмалина в композите. Авторская разработка.

Ниже на рисунке 3 изображена зависимость эффективных компонент тензора диэлектрических постоянных от концентрации слоя турмалина:

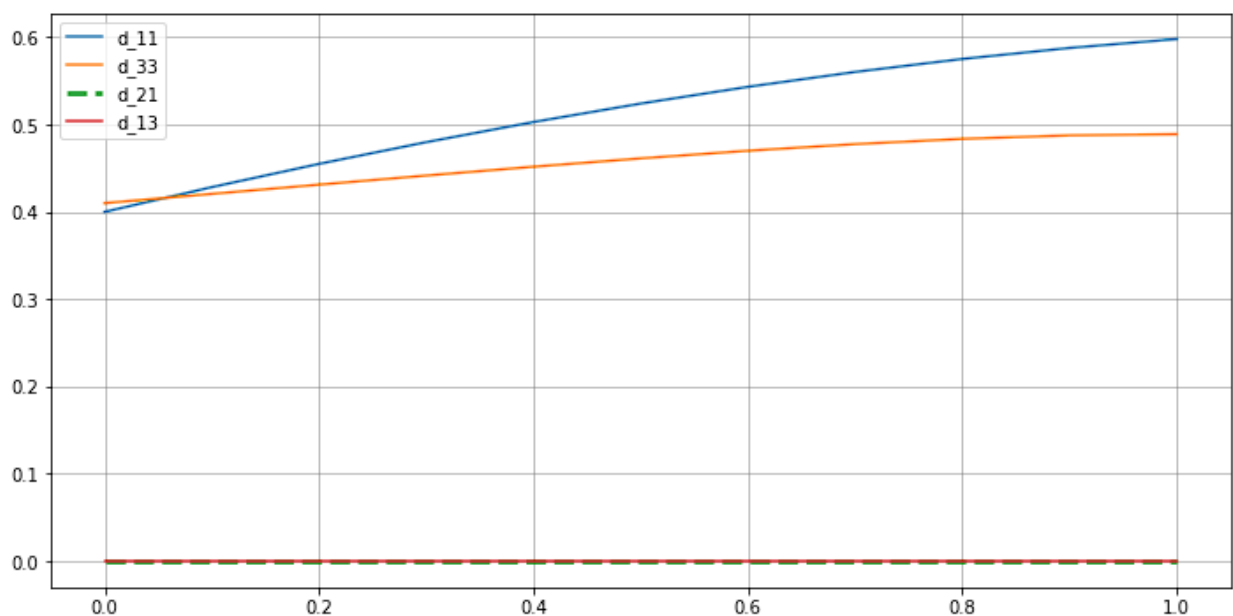


Рис. 3 – График зависимости компонент тензора  $\varepsilon_{ij}$  от концентрации турмалина в композите. Авторская разработка.

В качестве дополнительного примера рассчитаем эффективные характеристики для двухслойного композита 2, состоящий из слоя сегнетовой соли, обладающей ромбическим классом симметрии с группой анизотропии 222 (табл. 4) и слоя титаната бария (табл. 5), обладающего гексагональным классом симметрии, с группой анизотропии 6mm, с объемными концентрациями 0.3 и 0.7 соответственно:

Таблица 4 – Константы сегнетовой соли ( $c_{ijkl}$  в ГПа,  $\nu_{ijk}$  в Кл/м<sup>2</sup>,  $\varepsilon_{ij}$  в 10<sup>-10</sup> Ф/м)

Компонента	$C'_{1111}$	$C'_{1122}$	$C'_{3333}$	$C'_{2323}$	$\nu'_{123}$	$\nu'_{231}$	$\nu'_{312}$	$\varepsilon'_{11}$	$\varepsilon'_{33}$
Значение	0,425	0,296	1,89	0,125	5,0	0,081	0,058	17,7	0,814

Таблица 5 – Константы титанат бария ( $c_{ijkl}$  в ГПа,  $\nu_{ijk}$  в Кл/м<sup>2</sup>,  $\varepsilon_{ij}$  в 10<sup>-10</sup> Ф/м)

Компонента	$C'_{1111}$	$C'_{1122}$	$C'_{3333}$	$C'_{2323}$	$\nu'_{131}$	$\nu'_{311}$	$\nu'_{333}$	$\varepsilon'_{11}$	$\varepsilon'_{33}$
Значение	1,680	0,782	1,89	0,546	11,6	-4,40	18,6	112	126

В таблице 6 предоставлены результаты вычисления программы, разработанной на Python:

Таблица 6 – Эффективные характеристики двухслойного композита 2

Компонента	$\bar{C}_{1111}$	$\bar{C}_{2222}$	$\bar{C}_{3333}$	$\bar{\nu}_{311}$	$\bar{\nu}_{112}$	$\bar{\nu}_{113}$	$\bar{\varepsilon}_{11}$	$\bar{\varepsilon}_{33}$
Рассчитанное значение	1.4	1.43	1.59	-0.05	0	0.92	133.05	72.08
Компонента	$\bar{C}_{1133}$	$\bar{C}_{1123}$	$\bar{C}_{2323}$	$\bar{\nu}_{333}$	$\bar{\nu}_{123}$	$\bar{\nu}_{311}$	$\bar{\varepsilon}_{21}$	$\bar{\varepsilon}_{22}$
Рассчитанное значение	0.29	0	0.27	0.09	3.26	-0.05	-2.41	5.27

Полученные результаты вновь представим в виде графиков зависимости эффективных характеристик от концентрации соответствующих слоев (ширины слоев). Ниже на рисунке 4 изображена зависимость эффективных компонент тензора модуля упругости от концентрации слоя сегнетовой соли:

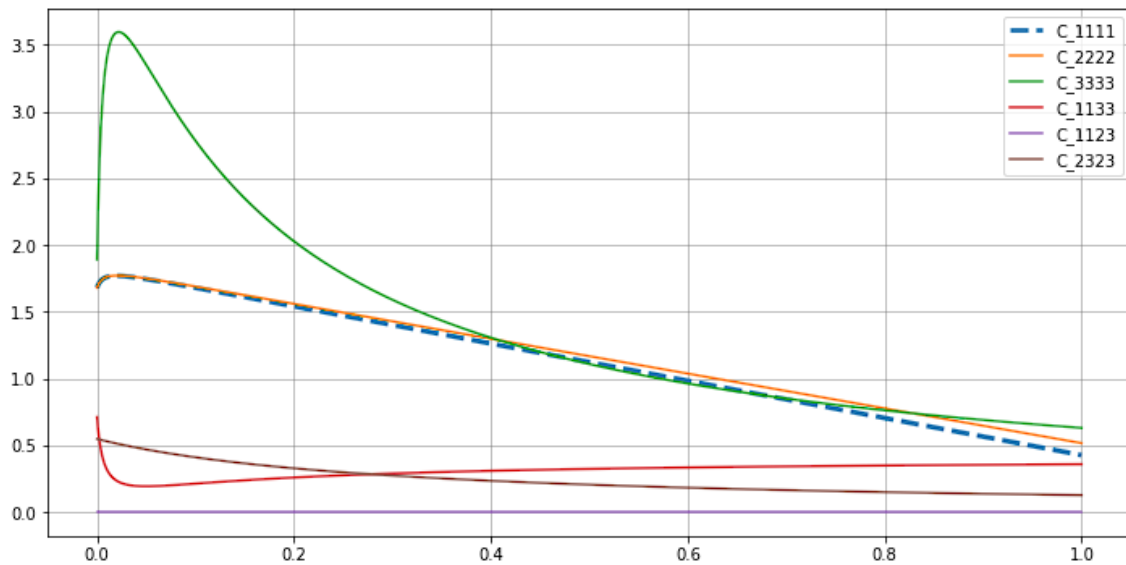


Рис. 4 – График зависимости компонент тензора  $c_{ijkl}$  от концентрации сегнетовой соли в композите. Авторская разработка.

Ниже на рисунке 5 изображена зависимость эффективных компонент тензора  $\nu_{ijk}$  от концентрации слоя сегнетовой соли:

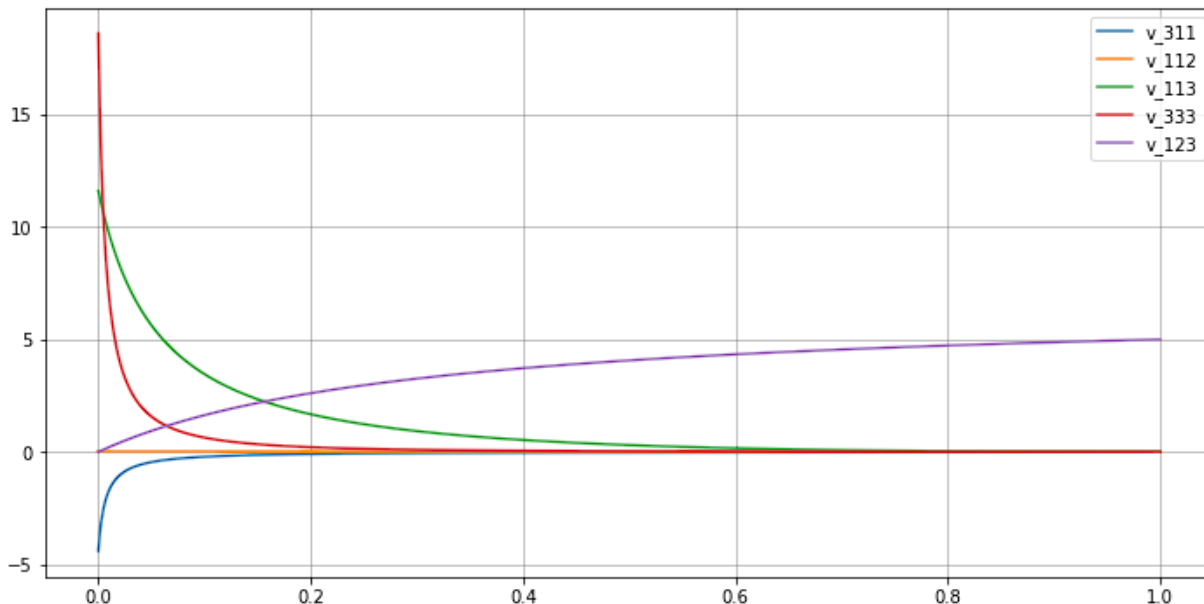


Рис. 5 – График зависимости компонент тензора  $v_{ijk}$  от концентрации сегнетовой соли в композите. Авторская разработка.

Ниже на рисунке 6 изображена зависимость эффективных компонент тензора диэлектрических постоянных от концентрации слоя сегнетовой соли:

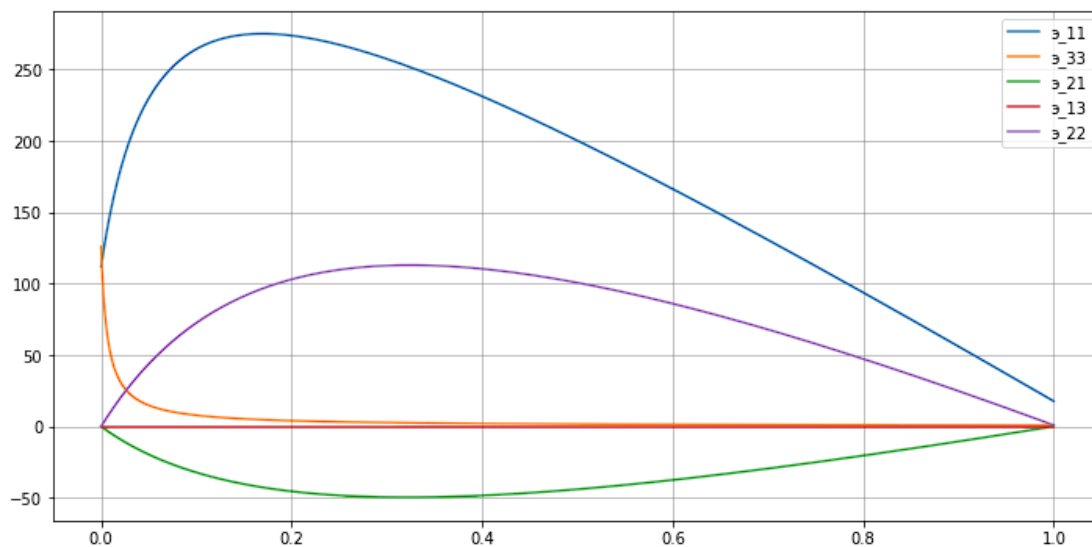


Рис. 6 – График зависимости компонент тензора  $\epsilon_{ij}$  от концентрации сегнетовой соли в композите. Авторская разработка.

## **Выводы**

В данной статье был применен метод асимптотического осреднения для линейной задачи пьезоупругости. В результате были получены эффективные характеристики рассмотренных двуслойных композитов.

## **Библиографический список**

1. Бахвалов Н.С., Панасенко Г.П. Осреднение процессов в периодических средах/ Бахвалов Н.С., Панасенко Г.П. - М.: «Наука», 1984. – 352 с.
2. Бин Ж. Wave propagation in two-layered infinite composite piezoelectric hollow cylinder with imperfect interfaces/ Бин Ж.// Piezoelectricity, Acoustic Waves, and Device Applications, 2008.
3. Вон Дж. - Can piezoelectricity lead to negative capacitance?/ Electron Devices Meeting (IEDM), 2014
4. Гао Ян. The refined theory of piezoelectric thick plates.– Piezoelectricity/ Acoustic Waves, and Device Applications (SPAWDA), 2009.
5. Димитриенко Ю.И., Морозов А.Н., Соколов А.П., Ничеговский Е.С. Моделирование эффективных пьезоупругих композиционных материалов/ Димитриенко Ю.И., Морозов А.Н., Соколов А.П., Ничеговский Е.С // Вестник МГТУ им. Н.Э.Баумана. Серия "Естественные Науки". - 2010. – №3.
6. Каламкарров А.Л. Modeling of anisotroping magneto-piezoelastic materials/ Каламкарров А.Л. // Direct and Inverse Problems of Electromagnetic and Acoustic Wave Theory, 2016.

7. Каралюнас Р. И. Эффективные термопьезоэлектрические свойства слоистых композитов/ Каралюнас Р. И.// Механика композитных материалов. – 1990. – № 5. – С. 823–830.
8. Ландис Ч. Fully coupled, multi-axial, symmetric constitutive laws for polycrystalline ferroelectric ceramics/ Ландис Ч. // Журнал механики и физики твердого тела. – 2002. –№ 50. – С. 127-152
9. Най Дж. Физические свойства кристаллов и их описание при помощи тензоров и матриц. - М.:Издательство иностранной литературы, 1960. – 377 с.
10. Пурукава Т. - Piezoelectricity and pyroelectricity in ferroelectric polymers/ Electrets (ISE 5). 5th International Symposium, 1985.
11. Хубер Д., Флек Н., Ландис Ч. A constitutive model for ferroelectric polycrystals/ Хубер Д., Флек Н., Ландис Ч. // Журнал механики и физики твердого тела. – 1999. – №8. – С. 1663-1697

*Оригинальность 91%*